

## تأثیر افزایش طول مؤثر بر مشخصات هیدرولیکی و ضریب تخلیه سرریز جانبی\*

حامد زاهدی خامنه<sup>(۱)</sup> سعید رضا خداشناس<sup>(۲)</sup> محمدرضا اکبرزاده<sup>(۳)</sup> کاظم اسماعیلی<sup>(۴)</sup>

**چکیده** سرریز جانبی، سازه‌ای برای کنترل و انتقال جریان می‌باشد. این سازه در کانال‌های آبیاری و زهکشی، شبکه‌های جمع‌آوری فاضلاب و آبگیری از رودخانه‌ها به طور گسترده مورد استفاده قرار می‌گیرد. در جریان‌های سیلانی عملکرد این سرریزها به شدت کاهش می‌یابد. یکی از راه‌های بالا بردن راندمان سرریز جانبی و بهبود عملکرد آن هنگامی که جریان سیلانی است، استفاده از سرریزهای مایل نسبت به جهت جریان (سرریزهایی که در پلان با زاویه نسبت به جهت جریان قرار گرفته‌اند) می‌باشد. از این نوع سرریزها به خصوص در مکان‌هایی که با محلودیت بازشدنگی رو به رو هستیم استفاده می‌شود. در پژوهش حاضر  $70$  آزمایش بر سرریزهای جانبی نیم دایره‌ای در ارتفاع و طول‌های مختلف انجام گرفت. تأثیر پارامترهای مختلف هندسی و هیدرولیکی بر روی ضریب تخلیه سرریز جانبی ( $C_m$ ) مورد بررسی قرار گرفت و در پایان رابطه جدیدی برای برآورد  $C_m$  برای سرریزهای نیم دایره‌ای ارائه گردید. نتایج نشان داد که سرریزهای نیم دایره‌ای با افزایش  $1.5$  طول سرریز ضریب  $C_m$  را  $1.5$  تا  $2$  برابر نسبت به سرریزهای مستطیلی ساده افزایش می‌دهند.

**واژه‌های کلیدی** سرریز جانبی نیم دایره‌ای، پروفیل سطح آب، طول مؤثر، ضریب تخلیه، مدل‌های آزمایشگاهی.

## Study on Influence Increase Effective Length on the Hydraulic Characteristic and Discharge Coefficient in Side Weirs

H. Zahedi khameneh S. R Khodashenas M. R. Akbarzadeh K. Esmaili

**Abstract** One of the most important discharge control ways in hydraulic structures is side weir which is used in irrigation, water distribution, waste-water engineering, drainage, flood control and other water related projects. In order to increases  $C_m$  value and control on water surface when there is restriction in the weir length( $L$ ), side weir with different geometry is used. In present research seventhly experimental tests were conducted on the semi-circular side weir with different lengths and heights( $w$ ). Studied the influence of hydraulic and geometry variables on the  $C_m$  value and a new equation was developed to calculate discharge coefficient of the semi-circular side weir. The results indicated  $C_m$  in the semi-circular side weir is  $1.5$  to  $2$  times more than rectangular side weir.

**Key Words** Semi-Circular side Weir, Water surface Profile, Effective Length, Discharge Coefficient, Experimental model.

\* تاریخ دریافت مقاله ۹۱/۰۲/۱۲ و تاریخ پذیرش آن ۹۲/۱۲/۱۹ می‌باشد.

(۱) دانشجوی کارشناسی ارشد سازه‌های آبی، دانشکده کشاورزی، دانشگاه فردوسی مشهد.

(۲) نویسنده‌ی مسؤول: دانشیار گروه مهندسی آب، دانشکده کشاورزی، دانشگاه فردوسی مشهد.

(۳) مری، گروه مهندسی آب، دانشکده کشاورزی، دانشگاه فردوسی مشهد.

(۴) دانشیار، گروه مهندسی آب، دانشکده کشاورزی، دانشگاه فردوسی مشهد.

دو مارچی [1] در سال ۱۹۳۴ را می‌توان پایه و اساس این نظریه و همچنین مطالعات بعدی بر روی سرریزهای جانبی دانست. او با فرض ثابت بودن انرژی مخصوص در طول سرریز جانبی، رابطه‌ای برای به دست آوردن طول سرریز ارائه داد:

$$L = \frac{3}{2} \frac{B}{C_m} (\varphi_2 - \varphi_1) \quad (1)$$

که در آن  $L$  معرف طول سرریز،  $B$  عرض کanal اصلی و  $\varphi_1$  و  $\varphi_2$  مقادیر معادله‌ی (۲) به ترتیب در بالادست و پایین‌دست سرریز می‌باشد:

$$\varphi(y, E, w) = \frac{2E - 3w}{E - w} \sqrt{\frac{E - y}{y - w}} - 3 \sin^{-1} \sqrt{\frac{E - y}{E - w}} \quad (2)$$

که در آن  $y$  عمق جریان در کanal اصلی،  $w$  ارتفاع سرریز و  $E$  انرژی مخصوص در کanal اصلی می‌باشد. پس از دو مارچی [1] مطالعات زیادی بر روی سرریز جانبی انجام گرفت که بیشتر آن‌ها مربوط به سرریزهای جانبی نرمال می‌باشد. منظور از سرریز جانبی نرمال، سرریز جانبی مستطیلی لبه تیزی می‌باشد که به صورت موازی با جهت جریان در دیوار کanal اصلی قرار داده شده است. در بسیاری از این آزمایش‌ها که برای برآورد  $C_m$  سرریز مستطیلی بوده است،  $C_m$  را تابعی از عدد فرود جریان در بالادست سرریز جانبی در کanal اصلی ( $Fr_1$ ) نام برند [2,3,4,5,6].

سوامی و همکاران [7] روش آنالیز سرریزهای جانبی را با استفاده از ضریب شدت جریان المانی بررسی نمودند. سینگ و همکاران [8] در بررسی خود بر روی سرریز جانبی نرمال به این نتیجه رسیدند که علاوه بر  $Fr_1$  تابعی از  $w/y$  نیز می‌باشد که در آن  $y$  ارتفاع جریان در کanal اصلی در بالادست سرریز جانبی می‌باشد. برقوعی و همکاران [9] با انجام آزمایش‌های گسترشده‌ای بر روی سرریزهای جانبی بیان داشتند که در جریان‌های زیر بحرانی، شبکه کanal اصلی تأثیر چندانی بر روی ضریب دبی ندارد و

## مقدمه

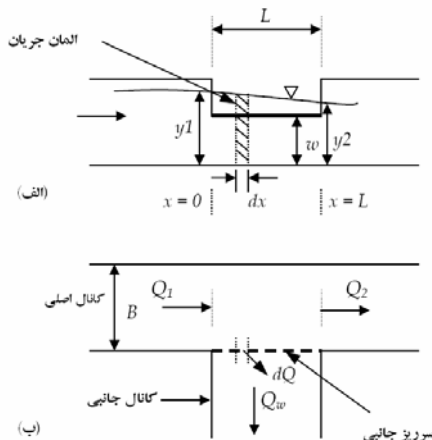
سرریز جانبی یکی از متداول‌ترین سازه‌های هیدرولیکی است که به عنوان یک سازه‌ی انحرافی در رودخانه‌ها، کanal‌های آبیاری و زهکشی و نیز سیستم جمع‌آوری فاضلاب شهری مورد استفاده قرار می‌گیرند. آبگیری در این نوع سازه به صورت ثقلی است و به دلیل پیوسته بودن جریان انتقالی و عدم صرف انرژی اضافی (نظیر ایستگاه‌های پمپاژ) برای انتقال آب، کاربرد گسترشده‌ای دارد. در معمولی‌ترین نوع سرریزهای جانبی، سرریز به شکل مستطیلی به صورت موازی برای جریان در کanal اصلی قرار می‌گیرد که در این حالت کanal جانبی (کanal انتقال آب) دارای زاویه نسبت به کanal اصلی می‌باشد.

جریان عبوری از روی سرریز جانبی وابسته به پارامترهای هندسه‌ی سرریز (طول بازشدگی سرریز، طول تاج سرریز، ارتفاع سرریز و ...)، هیدرولیک جریان (ارتفاع جریان در کanal اصلی، سرعت جریان، عدد فرود و ...) و مشخصات سیال (لزجت، دما و ...) می‌باشد. برخی از این پارامترهایی به صورت مستقیم قابل اندازه‌گیری هستند. ضریب تخلیه‌ی سرریز جانبی ( $C_m$ ) تأثیر پارامترهایی را که به صورت مستقیم قابل اندازه‌گیری نیستند بیان می‌کند. براساس مطالعات انجام گرفته بر روی سرریزهای جانبی،  $C_m$  رابطه‌ی مستقیمی با دبی عبوری از روی سرریز جانبی دارد. جریان روی سرریز جانبی از نوع متغیر مکانی با کاهش دبی می‌باشد. جریان متغیر مکانی، حالتی از جریان دائمی است که شدت جریان در طول مسیر افزایش یا کاهش یابد.

مطالعات تئوری و آزمایشگاهی زیادی بر روی سرریزهای جانبی انجام گرفته است. دیدگاه بیشتر پژوهشگران موافق با ثابت در نظر گرفتن مقدار تعییرات انرژی در طول سرریز است. این دسته معتقدند که شاخه‌ای شدن جریان باعث به وجود آمدن افت انرژی نمی‌شود یا این که مقدار آن در مقایسه با افت ناشی از اصطکاک قابل صرف نظر است. مطالعات

ایشان نشان دادند که افزایش طول مؤثر سرریز باعث افزایش ضریب  $C_m$  سرریز جانبی می‌شود. منظور از طول مؤثر، آن طولی از سرریز می‌باشد که به صورت فعال در انتقال جریان از روی سرریز مشارکت دارد یا به عبارت دیگر طول تاج سرریز که جریان را از روی خود عبور می‌دهد. آن‌ها بیان داشتند که رابطه‌ی عکسی بین زاویه‌ی رأس منقاره‌ها و  $C_m$  وجود دارد و بهترین حالت زمانی است که زاویه‌ی رأس سرریز منقاره‌ای برابر با  $60^\circ$  باشد. برگی و پروانه [13] در سال ۲۰۰۹ آزمایش‌هایی بر روی نوع جدیدتری از سرریزهای مایل که قابلیت آنگیری از هر دو ضلع سرریز را دارند انجام دادند. آن‌ها بیان داشتند که سرریزهای مورد آزمایش‌شان تا  $35\%$  ضریب تخلیه‌ی دبی را نسبت به سرریزهای نرمال افزایش می‌دهد. امیراوغلو و همکاران [14] به بررسی سرریزهای جانبی تکمنقاره پرداختند. نتایج آزمایش‌های آن‌ها نشان داد که سرریزهای منقاره‌ای با زاویه‌ی رأس  $45^\circ$  دارای ضریب  $C_m$  بالاتری می‌باشند. هم‌چنین بیان کردند که با افزایش عدد فرود بالادست ضریب دبی سرریز افزایش می‌یابد. در سال ۲۰۱۰ کایا و همکاران [15] آزمایش‌هایی را بر روی سرریزهای نیمه‌بیضوی در کanal مستطیلی و تحت شرایط جریان زیر بحرانی انجام دادند. ایشان بیان داشتند که هنگامی که نسبت دو قطر بیضی برابر  $1.5$  است سرریزهای نیمه‌بیضوی عملکرد بهتر و ضریب  $C_m$  بزرگتری دارند. امیراوغلو و کایا [16] در سال ۲۰۱۰ به بررسی سرریزهای زیگزاگی با آرایش ذوزنقه‌ای پرداختند. ایشان بیان داشتند که با کاهش زاویه‌ی دیواره‌ی سرریز ذوزنقه‌ای (a) و افزایش طول مؤثر سرریز ضریب  $C_m$  افزایش می‌یابد. نتایج آن‌ها نشان داد که  $\alpha = 16^\circ$  بهترین حالت در بین زوایای مورد آزمایش بوده است. ایشان بیان داشتند که سرریزهای زیگزاگی با آرایش ذوزنقه‌ای ضریب تخلیه‌ی دبی را  $1.5$  تا  $5$  برابر نسبت به سرریز جانبی نرمال افزایش می‌دهند. جدول شماره‌ی (۱) برخی از

رابطه‌ی رگرسیونی با استفاده از سه پارامتر  $w/y_1$ ,  $Fr_1$  و  $L/B$  برای محاسبه  $C_m$  ارائه دادند. امیراوغلو و همکاران [10] آزمایش‌هایی بر روی سرریزهای لبه تیز مستطیلی انجام دادند و گزارش دادند که در  $1 \geq \frac{L}{B}$  رابطه مستقیم بین  $C_m$  و  $Fr_1$  وجود دارد. آن‌ها هم‌چنین بیان کردند که تأثیر دو پارامتر  $L/B$  و  $w/y_1$  بر روی ضریب تخلیه را نمی‌توان نادیده گرفت.

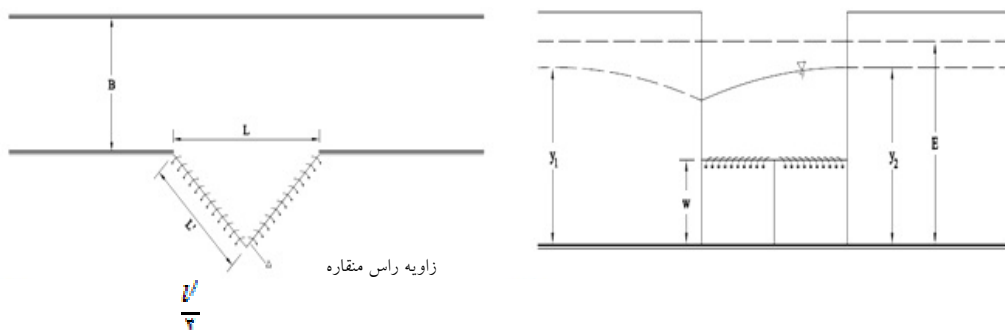


شکل ۱ نمای کلی سرریز جانبی نرمال، (الف) مقطع، (ب) پلان

در سال ۲۰۰۱ یورا و همکاران [11] مطالعاتی تحلیلی و آزمایشگاهی بر روی سرریزهای جانبی مایل انجام دادند و به بررسی معاایب سرریز جانبی پرداختند و سعی در رفع یا کاهش آن‌ها داشتند. آن‌ها معتقد بودند که سرریزهای جانبی معمولی دارای معاایب ذاتی مانند پدیده‌ی جداسدگی جریان و کاهش ضریب دبی با افزایش عدد فرود ( $Fr$ ) در کanal اصلی می‌باشند. به این ترتیب، با قرار دادن سرریز جانبی به صورت مایل نسبت به کanal اصلی سعی در کاهش این معاایب داشتند. آن‌ها با انجام آزمایش‌های مختلف بر روی سرریزهای جانبی مایل به این نتیجه رسیدند که بهترین حالت زمانی است که سرریز با زاویه  $70^\circ$  نسبت به کanal اصلی قرار بگیرد. هم‌چنین ایشان رابطه‌ای برای برآورد  $C_m$  بر حسب عدد فرود بالادست ( $Fr_1$ ) و زاویه‌ی قرارگیری سرریز جانبی مایل  $\theta$  ارائه دادند. نکوئی [12] در سال ۱۳۸۵ به بررسی سرریز جانبی منقاره‌ای پرداختند.

تک نیم دایره‌ای و با تغییر پارامترهای هیدرولیکی و هندسی مربوط به کانال و سرریز این مطلب مورد بررسی قرار گرفت. بنابراین  $70$  آزمایش برای مقادیر مختلفی از طول سرریز ( $L$ ، ارتفاع سرریز ( $w$ ) و جریان ورودی ( $Q_1$ ) بر روی سرریزهای جانبی تک نیم دایره انجام گرفت. پروفیل سطح جریان در کanal اصلی و ضریب شدت جریان مورد بررسی قرار گرفت و در پایان رابطه‌ی جدیدی برای برآورد  $C_m$  در سرریزهای نیم دایره‌ای ارائه گردید.

روابط ارائه شده برای  $C_m$  را نشان می‌دهد. با توجه به بررسی‌های انجام‌گرفته بر روی سرریزهای جانبی مایل، نیاز به تحقیق و انجام آزمایش‌های بیشتری بر روی سرریزهای جانبی می‌باشد. سرریزهایی با شکل تاج مختلف و در پلان‌هایی متفاوت که بتوانند باعث افزایش عملکرد سرریز جانبی شوند و معایب ذاتی آن را کاهش دهند. هدف کلی این طرح، بررسی کارایی و توانایی جایگزینی سرریزهای با پلان متفاوت به جای سرریزهای نرمال است. بدین منظور با انتخاب سرریز



شکل ۲ پلان و مقطع سرریز جانبی تک منقاره مورد آزمایش نکویی [3] و امیراوغلو و همکاران [14]

جدول ۱ برخی از روابط ارائه شده برای  $C_m$

مرجع	معادله $C_m$	عدد فرود
سایر امانیا و آوسی [3]	$C_m = 0/611 \left[ 1 - \left( \frac{3Fr_1^2}{2 + Fr_1^2} \right)^{0/5} \right]$	۰.۰۲–۰.۸۵
هیگر [2]	$C_m = 0/485 \left[ 2 + \frac{Fr_1^2}{2} + 3Fr_1^2 \right]^{0/5}$	۰.۰–۰.۸۷
سینگ و همکاران [8]	$C_m = (0/33) - (0/18Fr_1) + (0/49 \frac{W}{y_1})$	۰.۲۳–۰.۴۳
برقیعی و همکاران [9]	$C_m = (0/7) - (0/48Fr_1) - (0/3 \frac{W}{y_1}) + (0/06 \frac{L}{B})$	۰.۱–۰.۹
اورا و همکاران [11]	$C_m = 0/611 \left[ \cos\theta \left( \frac{3Fr_1^2}{2 + Fr_1^2} \right)^{0/5} + \sin\theta \left( 1 - \left( \frac{3Fr_1^2}{2 + Fr_1^2} \right)^{0/5} \right) \right] \sin\theta$	-----
امیراوغلو و همکاران [14]	$C_m = \left[ 18/6 - \left( 23/535 \left( \frac{L}{B} \right)^{0/012} \right) + \left( 6/769 \left( \frac{L}{l'} \right)^{0/112} \right) - \left( 0/502 \left( \frac{W}{y_1} \right)^{4/024} \right) + (0/094 \sin\theta) - (0/393 Fr_1^{2/155}) \right]^{1/431}$	۰.۰۷–۰.۹۳

تأثیر متغیرهای  $S_0$  و  $\mu$  بر ضریب تخلیهی سرریزهای جانبی بسیار کم می‌باشد. کشش سطحی روی تاج سرریز هنگامی که ارتفاع جت ریزشی آب کم است بسیار تأثیرگذار است. برای به حداقل رساندن تأثیر آن، بر اساس تحقیقات کلمن و اسمیت در سال ۱۹۵۴ (۱۹۵۴) ارتفاع آب بر روی سرریز در تمامی آزمایش‌ها بزرگ‌تر از ۲۰ میلی‌متر در نظر گرفته شد (به نقل از امیراوغلو و همکاران [۱۴]). هم‌چنین تمامی آزمایش‌ها در شرایط زیریحرانی انجام گردید. در کانال‌های باز، هنگامی که جریان آشفته باشد، جریان خیلی تحت تأثیر عدد رینولدز نمی‌باشد. از طرفی چون جریان‌های ورقه‌ای در حالت‌های خاص اتفاق می‌افتد می‌توان تأثیر پارامتر  $\mu$  را در معادلات منظور ننمود. از طرفی بر اساس تحقیقات برقعی و همکاران [۹]، تأثیر شیب کف کانال اصلی ( $S_0$ ) بر ضریب  $C_m$  بسیار ناچیز است به‌طوری که می‌توان از آن صرف‌نظر کرد.

علاوه بر این سه پارامتر، زاویه‌ی انحراف جریان ( $\Psi$ ) نیز اثرگذار است که عبارت است از انحراف جت جریان از سطح آب کانال اصلی در طول سرریز جانبی و به سرعت جریان و سرعت جت خروجی از روی سرریز وابسته می‌باشد. سابرآمانیا و آواسی [۳] رابطه‌ی زیر را برای محاسبه‌ی زاویه‌ی انحراف جریان بیان داشته‌اند:

$$\sin \Psi = \sqrt{1 - \left( \frac{v_1}{v_s} \right)^2} = \sqrt{1 - \left( \frac{3 Fr_1^2}{Fr_1^2 + 2} \right)} \quad (4)$$

که در آن  $v_1$  سرعت جت خروجی بر روی سرریز است. این رابطه نشان می‌دهد که تأثیر زاویه‌ی انحراف و سرعت جت خروجی با پارامتر  $Fr_1$  نشان داده می‌شود. از طرف دیگر الخشاب [۵] بیان کرد که پارامتر بی بعد طول ( $L/B$ ) در بردارنده‌ی تأثیر زاویه‌ی انحراف نیز می‌باشد. از این‌رو پارامتر  $\Psi$  نیز از پارامترهای مؤثر حذف گردید.

$$C_m = (y_1, v_1, g, L, l', B, w, \rho) \quad (5)$$

## مواد و روش‌ها

**تحلیل ابعادی.** روابط حاکم بر بسیاری از پدیده‌های هیدرولیکی را نمی‌توان مستقیماً از قوانین حاکم بر حرکت سیالات و تئوری‌های موجود نظری قوانین بقای جرم، بقای انرژی و بقای ممتنم به دست آورد. در چنین مواردی سعی می‌شود برای استخراج رابطه‌ی ریاضی حاکم بر چنین پدیده‌هایی، ابتدا همه‌ی متغیرهای لازم که در به وجود آوردن آن پدیده نقش دارند مشخص گردند.

متغیرهای بدون بعد در مطالعات آزمایشگاهی از اهمیت بسزایی برخوردار می‌باشند. برای بررسی ضریب دبی سرریز جانبی نیز تمامی متغیرهای مؤثر، مورد شناسائی قرار گرفتند، سپس با استفاده از قضیه‌ی  $\pi$  باکینگهام، رابطه‌ای بین این پارامترها به صورت رابطه‌ای فیزیکی از متغیرهای بدون بعد بیان شد. متغیرهای مختلفی بر ضریب دبی سرریزهای جانبی تأثیرگذارند که در قالب سه گروه کلی به صورت زیر بیان می‌شوند:

۱- متغیرهای مربوط به خصوصیات جریان عبارتند از متغیرهای، عمق جریان در بالادست سرریز ( $y_1$ )، عمق جریان در پایین‌دست سرریز ( $y_2$ )، سرعت جریان در مقطع بالادست ( $v_1$ )، سرعت جریان در مقطع پایین‌دست ( $v_2$ )، شتاب گرانش زمین (g) و زاویه‌ی انحراف جریان ( $\Psi$ ).

۲- متغیرهای مربوط به شکل و هندسه‌ی کانال و سرریزهای جانبی شامل طول بازشدگی ( $L$ )، طول مأثر سرریز ( $l'$ )، شیب کانال اصلی ( $S_0$ )، عرض کانال اصلی ( $B$ )، ارتفاع سرریزهای جانبی ( $w$ )، زاویه‌ی رأس منقاره‌ها ( $\Theta$ ) و طول بیرون‌زدگی سرریز ( $h$ ).

۳- خصوصیات مربوط به سیال که عبارتند از لزجت دینامیکی ( $\mu$ )، چگالی سیال ( $\rho$ ) و کشش سطحی ( $\sigma$ ).

در نتیجه می‌توان نوشت:

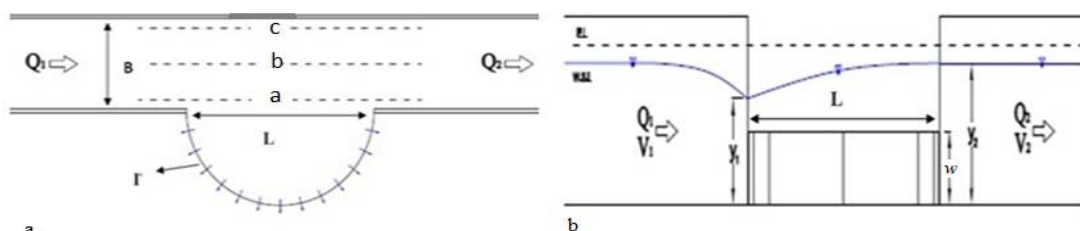
$$C_m = \mathcal{F}(y_1, y_2, v_1, v_2, g, \Psi, L, l', B, w, h, S_0, \mu, \rho, \sigma, \Theta) \quad (3)$$

در ابتدای کanal جانبی مخزنی ورودی به طول و عرض ۱ متر و ارتفاع ۵۰ سانتی متر قرار دارد که با زاویه‌ی ۹۰ درجه به کanal اصلی متصل است و محل نصب سرریزهای جانبی می‌باشد. ارتفاع آب در کanal اصلی به وسیله‌ی لیمینومتر متحرکی با دقیقیت ۰.۱ میلی متر اندازه‌گیری شده است. برای اندازه‌گیری دبی ورودی و خروجی از روی سرریز جانبی، دو سرریز مستطیلی لبه‌تیز یکی در ابتدای کanal اصلی و دیگری در انتهای کanal جانبی نصب و کالیبره گردید (شکل (۳)). سرریزهای جانبی با استفاده از ورق گالوانیزه ۱.۵ میلی متری ساخته شد. مدل‌ها در سه طول ۶۰، ۴۰ و ۳۰ سانتی متر و سه ارتفاع ۱۲.۵، ۱۰ و ۷.۵ سانتی متر در حالت تک نیم‌دایره طراحی و ساخته شد (شکل (۴)). در طول آزمایش مقادیر جریان در مقطع بالا دست و پایین دست سرریز جانبی در کanal اصلی اندازه‌گیری شد و مقادیر  $C_m$  و  $Fr_1$  محاسبه گردید.

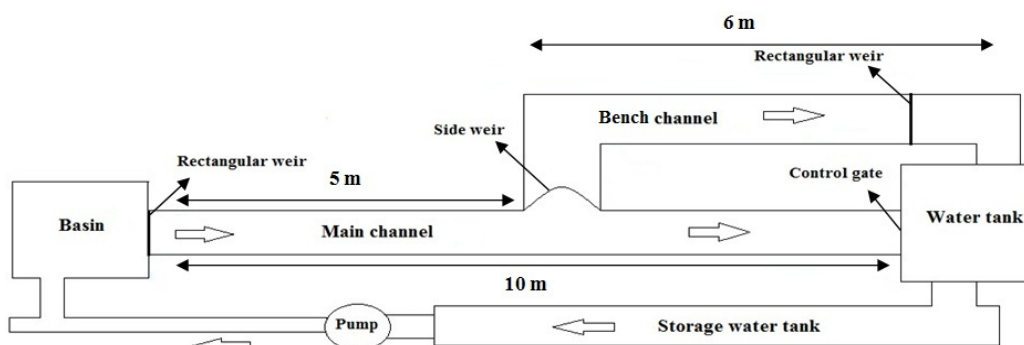
سه پارامتر  $v_1$ ,  $y_1$ ,  $\rho$  به عنوان متغیرهای تکراری انتخاب گردید. با ترکیب هریک از متغیرهای تکراری، یک عدد بی بعد حاصل می‌شود. با ترکیب توابع بدون بعد پارامتر زیر را می‌توان به عنوان پارامترهای مؤثر بر  $C_m$  بیان نمود:

$$C_m = (Fr_1, L/B, w/y_1, w/l') \quad (6)$$

**تجهیزات آزمایشگاهی.** آزمایش‌ها در دو کanal انجام شد. کanal اصلی به طول ۱۰ متر، عرض ۳۰ سانتی متر و ارتفاع ۵۰ سانتی متر می‌باشد با دیواره‌هایی از جنس شیشه و کف آن از جنس فلز با روکش رنگ می‌باشد. کanal اصلی شبیه‌پذیر است و شبیه آن در طول آزمایش‌ها ثابت و برابر ۰.۰۰۰۱ می‌باشد. کanal جانبی، که موازی کanal اصلی، دارای طول ۶ متر، عرض ۴۰ سانتی متر و ارتفاع ۵۰ سانتی متر می‌باشد. دیوار و کف این کanal از جنس فلز است و شبیه آن افقی می‌باشد.



شکل ۳ نمایی از سیستم آزمایشگاهی



شکل ۴، پلان و مقطع سرریز جانبی نیم‌دایره‌ای

شکل (۵-الف) انرژی مخصوص را در بالادست سرریز ( $E_1$ ) و پایین دست سرریز ( $E_2$ ) در برابر هم نشان می‌دهد. نتایج نشان می‌دهد تغییرات انرژی در طول سرریز بسیار اندک است و مقادیر انرژی در نزدیکی خط  $E_1 = E_2$  می‌باشد؛ در نتیجه، فرض ثابت درنظر گرفتن انرژی در طول سرریز مورد تأیید قرار می‌گیرد. هم‌چنین درصد تغییرات انرژی مخصوص در طول سرریز با استفاده از رابطه‌ی (۸) محاسبه می‌شود (شکل ۵-ب).

$$\frac{100}{n} \sum_{i=1}^n \left| \frac{\Delta E_i}{E_1} \right| = 1.53 \quad (9)$$

درصد اختلاف انرژی در تحقیقات الخشاب [۵]، رانگ راجو [۶] و برقی و همکاران [۹] به ترتیب ۰.۵٪، ۰.۲٪ و ۳.۷٪ می‌باشد. مشاهده می‌شود که درصد اختلاف انرژی نیز در محدوده‌ی قابل قبول قرار دارد و از این‌رو می‌توان با ثابت درنظر گرفتن انرژی مخصوص در طول سرریز در جریان‌های زیر بحرانی، از معادلات دو مارچی [۱] برای محاسبه‌ی  $C_m$  استفاده کرد.

در شکل (۵-ب) مشاهده می‌شود با افزایش عدد فرود، درصد افت انرژی در طول سرریز بیشتر از حد متوسط می‌شود. با افزایش در شدت و سرعت جریان و میل عدد فرود به سمت ۱، آشفتگی جریان افزایش می‌یابد و جریان‌های گردابی بیشتر می‌شود. این امر باعث افزایش افت انرژی در طول سرریز می‌گردد.

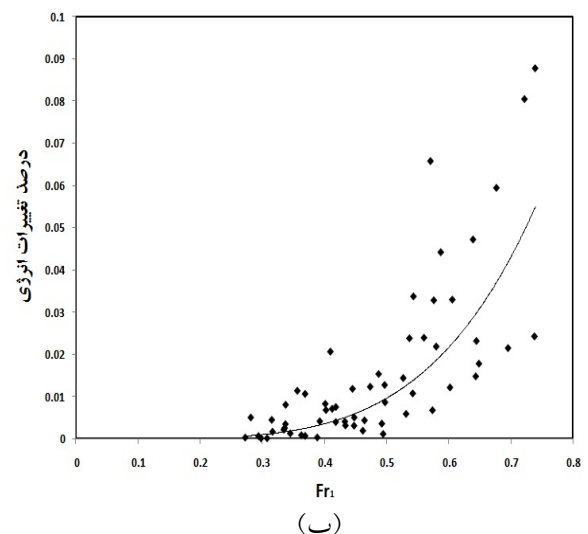
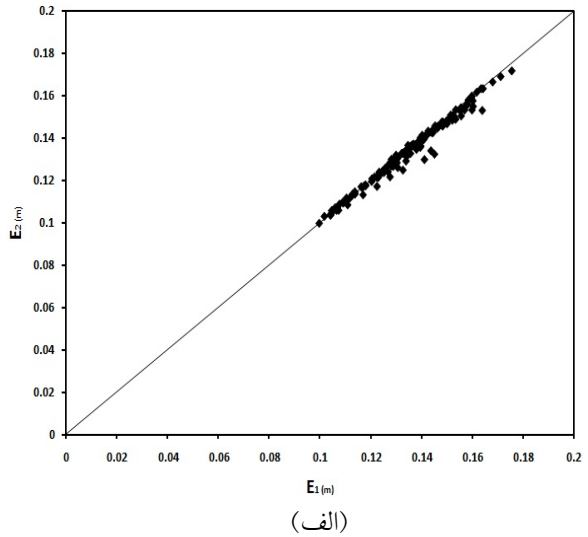
بررسی پروفیل سطح آب. بهمنظور بررسی شکل حرکت جریان از کanal اصلی به سمت سرریز جانبی، تغییرات سطح جریان در طول سرریز جانبی نیم دایره‌ای و مشاهده‌ی تأثیر بازشدنگی ابتدای و دیواره‌های سرریز و کanal بر روی جریان پروفیل سطح جریان در کanal اصلی در طول سرریز برداشت شد. بهمنظور بررسی پروفیل سطح جریان در کanal اصلی مقدار ارتفاع آب در امتداد سه خط a، b و c برداشت شده است (شکل ۶). شکل (۶-الف و ب) پروفیل سطح جریان را در

## نتایج

تغییرات انرژی مخصوص در طول سرریز. بهمنظور بررسی مقدار تغییرات انرژی مخصوص در طول سرریز مقادیر انرژی در دو مقطع بالادست و پایین دست سرریز جانبی برای تمام مدل‌ها محاسبه شده‌اند. هم‌چنین تغییرات انرژی در صد اختلاف  $E_1$ ،  $E_2$  با استفاده از رابطه‌ی زیر محاسبه می‌شود:

$$\Delta E = (E_1 - E_2) \quad (7)$$

$$\text{درصد تغییرات انرژی} = \frac{\Delta E}{E_1} \times 100 \quad (8)$$



شکل ۵. الف) تغییرات  $E_1$  و در برابر  $E_2$  و در برابر یکدیگر، ب) تغییرات افت انرژی در برابر  $Fr_1$

از:

$$C_m = (Fr_1, L/B, w/y_1, w/l) \quad (10)$$

شکل (۷) تغییرات  $C_m$  را در برابر  $\frac{w}{y}$  نشان می‌دهد. همان‌طور که مشاهده می‌شود با توجه به انجام آزمایش‌ها در شرایط زیر بحرانی پروفیل سطح جریان در امتداد سرریز جانبی به‌طور کلی دارای روندی صعودی است [1,8]. در سرریز نیم‌دایره‌ای پروفیل سطح جریان در امتداد خط a در ابتدای سرریز دارای افت می‌باشد. به‌دلیل اثر ناحیه‌ی ورودی سرریز [10]، جریان گردابی به وجود آمده در حوضچه‌ی جلوی سرریزها و همچنین زاویه‌ی انحراف جریان نسبت به کanal اصلی به وجود می‌آید. بررسی پروفیل سطح جریان در امتداد خط a نشان می‌دهد که پس از افت اولیه ارتفاع جریان در امتداد سرریز دارای روندی صعودی است. در انتهای سرریز با یک افزایش ارتفاع ناگهانی رو به رو هستیم که می‌توان به‌دلیل تأثیر دیواره‌ی کanal و شکل گرفتن پرشی کوچک و جریان‌های برگشتی (به نقل از امیراوغلو و همکاران [14]) در انتهای سرریز باشد.

شکل (۸) تغییرات  $C_m$  را در برابر  $Fr_1$  برای  $\frac{w}{l}$  مختلف در بازشدگی ۶۰ سانتی‌متر نشان داده است. همان‌طور که در شکل مشهود می‌باشد با افزایش  $\frac{w}{l}$  میزان  $C_m$  کاهش می‌یابد. در حقیقت می‌توان گفت با توجه به ثابت در نظر گرفتن  $'$ ، افزایش ارتفاع سرریز تأثیر منفی بر عملکرد سرریز جانبی می‌گذارد.

شکل (۹) تغییرات  $C_m$  را در برابر  $Fr_1$  در بازشدگی‌های مختلف نشان می‌دهد. نتایج نشان داد ضریب  $C_m$  رابطه‌ی معکوس با  $Fr_1$  دارد. با افزایش مقدار عدد فرود در بالادست سرریز جانبی در کanal اصلی کاهش در میزان ضریب تخلیه‌ی سرریز ( $C_m$ ) دیده می‌شود. به عبارت دیگر تمایل سرریزهای جانبی به جریان‌های آرام می‌باشد. با افزایش  $Fr_1$  افت انرژی در طول سرریز افزایش می‌یابد. این افزایش در اثر افزایش جریان‌های گردابی و اغتشاشات جریان، به خصوص در حوضچه‌ی جلوی سرریز جانبی است که در نتیجه باعث افت در عملکرد سرریز می‌شود. همچنین شکل (۹) نشان می‌دهد که افزایش طول

دو سرریز نیم‌دایره‌ای را نشان می‌دهد. همان‌طور که مشاهده می‌شود با توجه به انجام آزمایش‌ها در شرایط زیر بحرانی پروفیل سطح جریان در امتداد سرریز جانبی به‌طور کلی دارای روندی صعودی است [1,8]. در سرریز نیم‌دایره‌ای پروفیل سطح جریان در امتداد خط a در ابتدای سرریز دارای افت می‌باشد. به‌دلیل اثر ناحیه‌ی ورودی سرریز [10]، جریان گردابی به وجود آمده در حوضچه‌ی جلوی سرریزها و همچنین زاویه‌ی انحراف جریان نسبت به کanal اصلی به وجود می‌آید. بررسی پروفیل سطح جریان در امتداد خط a نشان می‌دهد که پس از افت اولیه ارتفاع جریان در امتداد سرریز دارای روندی صعودی است. در انتهای سرریز با یک افزایش ارتفاع ناگهانی رو به رو هستیم که می‌توان به‌دلیل تأثیر دیواره‌ی کanal و شکل گرفتن پرشی کوچک و جریان‌های برگشتی (به نقل از امیراوغلو و همکاران [14]) در انتهای سرریز باشد.

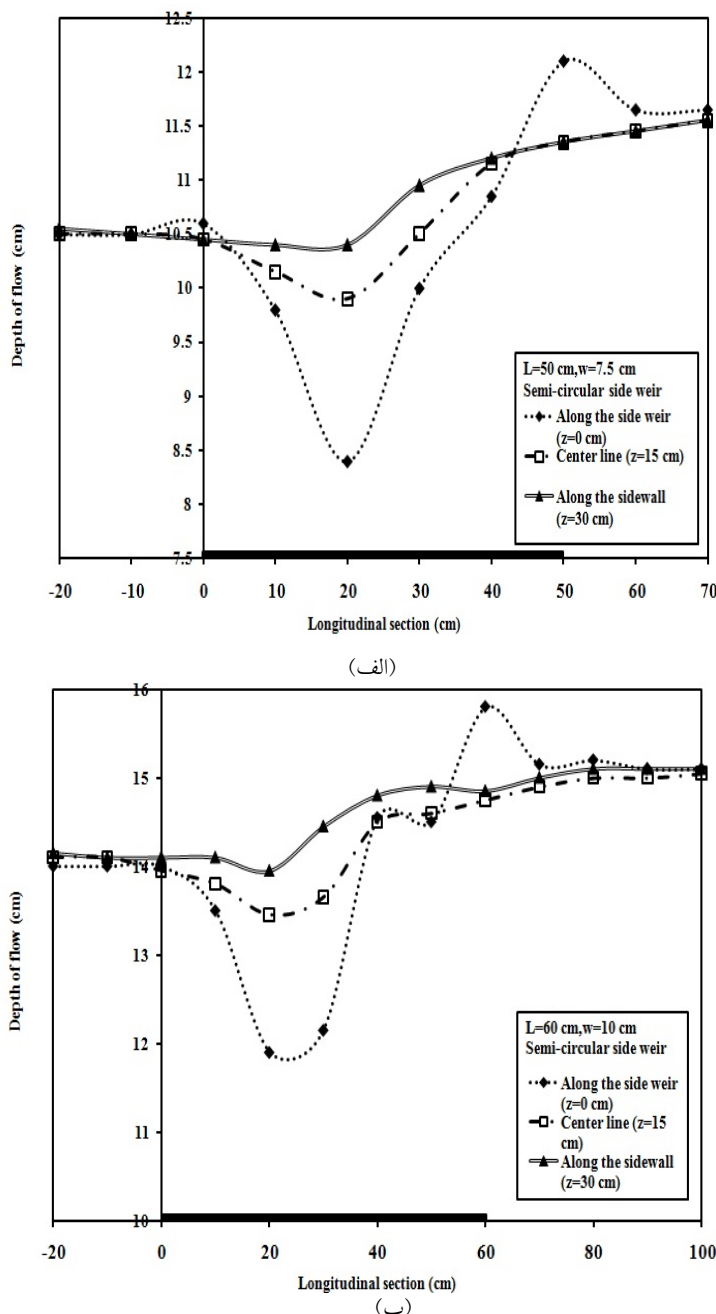
پروفیل طولی جریان در امتداد دو خط b و c نشان می‌دهد که افت ابتدایی در دهانه‌ی سرریز بر روی شکل جریان در کanal اصلی نیز تأثیر گذاشته است. نتایج نشان می‌دهد که سطح آب در عرض کanal اصلی در ابتدای سرریز جانبی افت کمی دارد. سطح آب در کanal اصلی پس از افت دارای یک روند افزایشی تا انتهای سرریز می‌باشد. هر چه به سمت انتهای سرریز می‌رویم روند افزایشی دارای شبیه ملایم‌تری می‌شود. نتایج نشان می‌دهد که یک جریان عرضی از دیواره‌ی کanal اصلی (خط c) به سمت دهانه‌ی بازشدگی سرریز (خط a) وجود دارد. شکل (۶-الف و ب) نشان می‌دهد که در سایر بخش‌ها به جز در انتهای سرریز که به‌دلیل تأثیر دیواره‌ها و ایجاد پرش کوچک، افزایش ارتفاع ناگهانی و موضعی در امتداد a به وجود می‌آید عمق جریان در امتداد خط c بالاتر از عمق جریان در امتداد خط a می‌باشد که باعث حرکت جریان در عرض کanal از امتداد c به سمت سرریز جانبی می‌شود.

بررسی پارامترهای مؤثر بر  $C_m$ . همان‌طور که پیش‌تر ذکر گردید پارامترهای بدون بعد مؤثر بر  $C_m$  عبارتند

آواسی [۳]، هیگر [۲] و برقعی و همکاران [۹] محاسبه گردید. شکل (۹) نشان می‌دهد سرریز جانبی نیم‌دایره‌ای عملکرد بهتری نسبت به سرریز نرمال دارد و استفاده از سرریزهای نیم‌دایره‌ای ضریب تخلیه سرریزهای جانبی را ۱.۵ تا ۲ برابر نسبت به سرریزهای نرمال افزایش می‌دهد.

سرریز (L) منجر به افزایش طول مؤثر سرریز می‌گردد و در نتیجه جریان عبوری از روی سرریز افزایش می‌یابد. به طور کلی افزایش پارامتر  $\frac{L}{B}$  موجب افزایش  $C_m$  می‌شود.

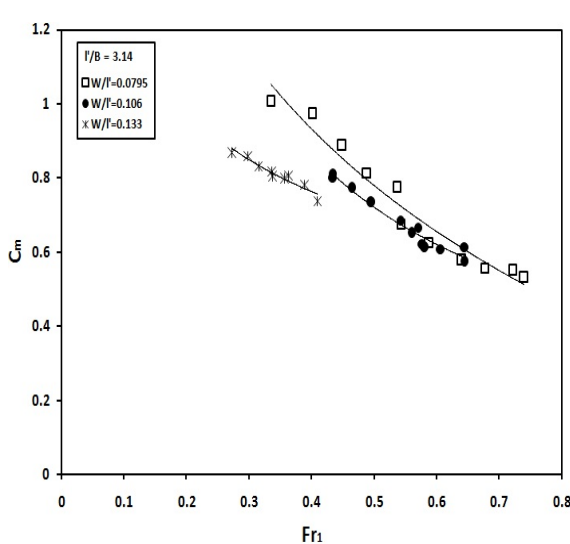
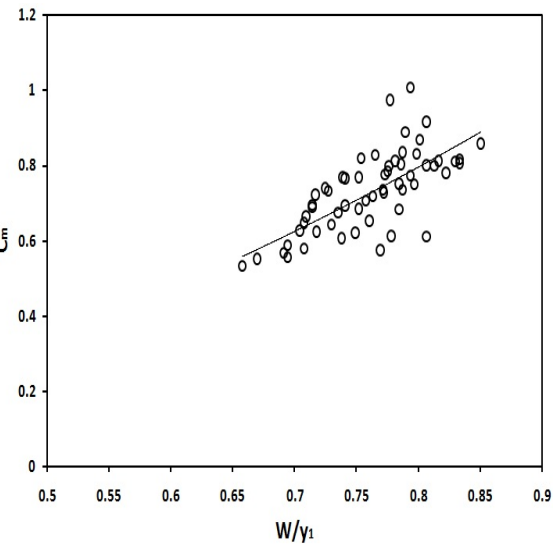
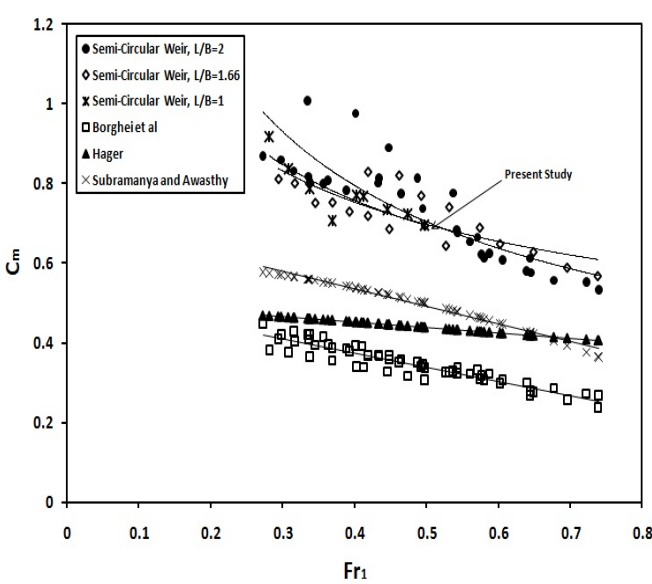
برای مقایسه بین سرریزهای مورد آزمایش و سرریزهای نرمال، مقادیر  $C_m$  از سه رابطه‌ی سابرمانیا و



شکل ۶ پروفیل سطح جریان در طول سرریز جانبی نیم‌دایره‌ای

جدول ۲ محدوده تغییرات متغیرهای آزمایش

geometry	Weir length L (cm)	Weir height W (cm)	Discharge Q (L/s)	Froude number ( $Fr_1$ )
Semi-circular	30,50,60	12.5,10,7.5	10-30	0.27-0.74

شکل ۸ تغییرات  $C_m$  با  $Fr_1$  برای نسبت‌های مختلف  $\frac{W}{l}$ شکل ۷ تغییرات  $C_m$  با  $\frac{W}{y_1}$ شکل ۹ تغییرات  $C_m$  با  $Fr_1$  در نسبت‌های مختلف  $L/B$

RMSE برای رابطه‌ی (۱۱) به ترتیب برابر با ۰.۹، ۰.۰۲۶ و ۰.۰۳۴ می‌باشد.

شکل (۱۰) مقادیر  $C_m^c$  اندازه‌گیری شده را در برابر مقادیر  $C_m$  محاسبه شده با استفاده از رابطه‌ی (۱۱) را نشان می‌دهد. همان‌طور که مشاهده می‌شود مقادیر به دست آمده از رابطه‌ی (۱۱) نزدیک به مقادیر اندازه‌گیری شده می‌باشد. همچنین شکل (۱۱) مقادیر  $Q_w$  اندازه‌گیری شده را در برابر  $Q_w$  محاسبه شده با استفاده از رابطه‌ی (۱۱) را نشان می‌دهد. برای برآورده مقدار دبی خروجی از روی سرریز از معادلات دی مارچی (معادله‌های (۱) و (۲)) و رابطه‌ی (۱۱) استفاده کرده و با روش سعی و خطأ مقدار دبی خروجی از روی سرریز به دست می‌آید. نتایج نشان می‌دهد که مقادیر  $Q_w$  با خطأ کمتر از ۷٪ با استفاده از رابطه‌ی (۱۱) محاسبه گردیده است. در شکل (۱۲) مقادیر  $Q_w$  محاسبه شده با استفاده از رابطه‌ی (۱۱) را در برابر مقادیر  $Q_w$  به دست آمده با استفاده از روابطه هیگر [۲] و برقی و همکاران [۹] را نشان می‌دهد. نتایج نشان داد که سرریز نیم دایره‌ای در مقایسه با سرریزهای نرمال جریان بیشتری را از روی خود عبور می‌دهند.

برای برآورد ضریب  $C_m$  سرریز نیم دایره‌ای با استفاده از پارامترهای بدون بعد مؤثر بر آن رابطه‌ی زیر ارائه گردید:

$$C_m = \left[ 1.235 + 0.69 \left( \frac{w}{y_i} \right)^{16.202} + 0.538 \left( \frac{L}{B} \right)^{-13.148} \right. \\ \left. - 34.432 \left( \frac{w}{l} \right)^{2.49} - 0.932 (Fr_i)^{1.274} \right]$$

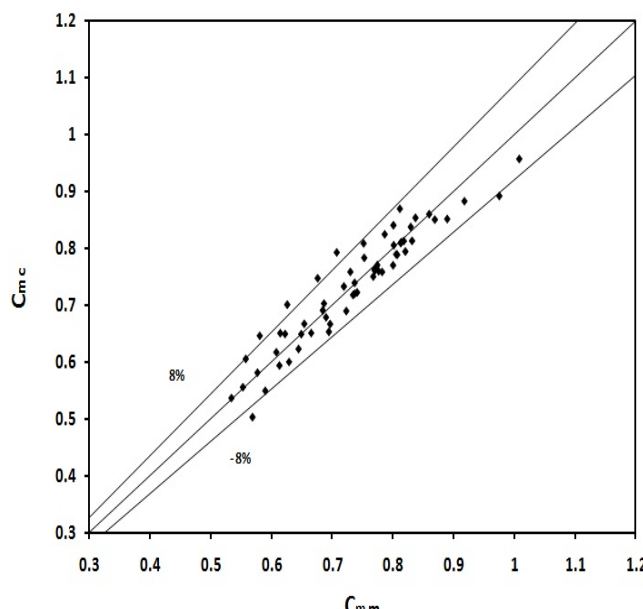
که در آن  $w$  ارتفاع سرریز،  $y_i$  عمق جریان در بالادست سرریز جانبی،  $L$  طول بازشده‌گی،  $B$  عرض کanal اصلی،  $l$  طول مؤثر سرریز و  $Fr_i$  عدد فرود بالادست می‌باشد. محدوده‌ی تغییرات پارامترهای مورد آزمایش در جدول زیر آورده شده است.

به منظور بررسی صحت رابطه ارائه شده ۳ پارامتر  $MAE, R^2$  و  $RMSE$  محاسبه گردید. مقادیر  $MAE$  و  $RMSE$  از روابط زیر به دست می‌آید:

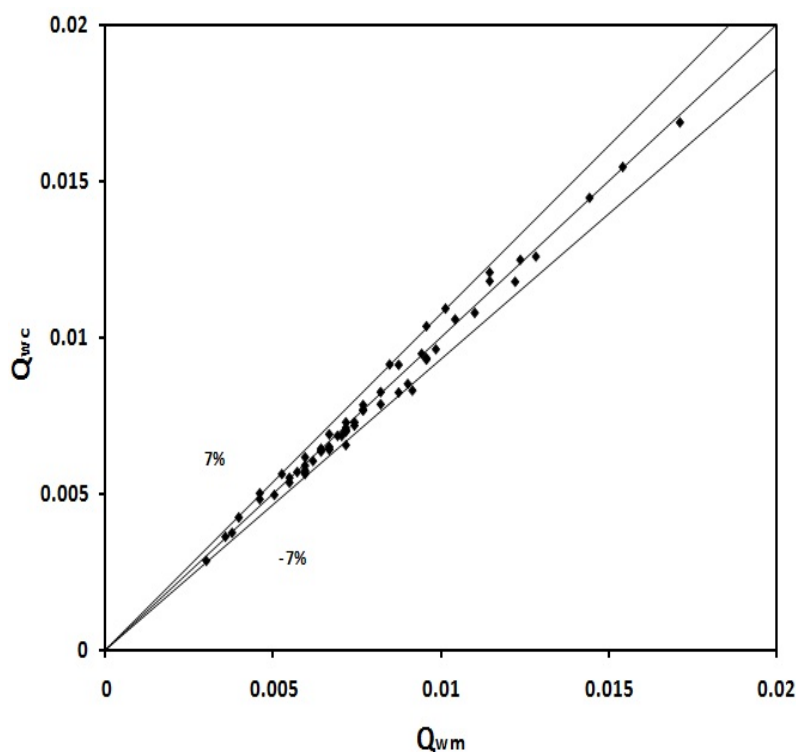
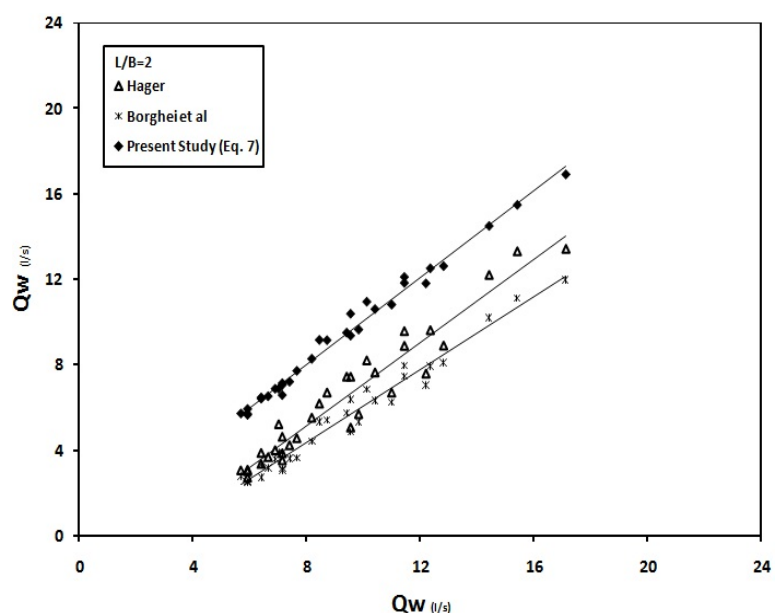
$$RMSE = \sqrt{\frac{\sum_{i=1}^N (F_i - f_i)^2}{N}} \quad (12)$$

$$MAE = \frac{\sum_{i=1}^N |F_i - f_i|}{N} \quad (13)$$

که در آن  $F$  ضرایب تخلیه‌ی مشاهده شده،  $f$  مقادیر ضریب تخلیه تخمین زده شده و  $N$  تعداد آزمایش‌های انجام شده می‌باشد. مقادیر پارامترهای  $R^2$  و  $MAE$  را در جدول زیر آورده شده است.



شکل ۱۰ مقایسه مقادیر اندازه‌گیری شده و محاسباتی  $C_m$

شکل ۱۱ مقایسه مقادیر اندازه‌گیری و محاسباتی  $Q_w$ شکل ۱۲ مقادیر  $Q_w$  محاسبه شده با استفاده از رابطه‌ی (۷) در برابر مقادیر  $Q_w$  محاسبه شده با استفاده از روابط هیگر [2] و برقعی و همکاران [9]

سریزهای نیم‌دایره‌ای دارای افتی در دهانه‌ی ورودی  
سریز می‌باشند که این افت بر رفتار جریان در کanal

**بحث و نتیجه‌گیری**  
آزمایش‌ها نشان داد که پروفیل سطح جریان بر روی

طول جدایش و باعث کاهش عملکرد سرریز می‌شود. اگر  $L$  طول سرریز نرمال باشد، طول مؤثر سرریز نیم‌دایره‌ای برابر با  $1.57L$  می‌باشد. نتایج نشان می‌دهد که افزایش طول مؤثر سرریز باعث افزایش راندمان سرریز و بالا رفتن کارایی آن می‌شود. به‌طوری‌که استفاده از سرریزهای نیم‌دایره‌ای به‌جای سرریزهای نرمال، ضریب تخلیه را  $1.5$  تا  $2$  برابر افزایش می‌دهد و به‌طور متوسط باعث افزایش  $20\%$  جریان انتقالی از روی سرریز می‌گردد.

اصلی نیز تأثیر می‌گذارد.

با توجه به آنالیز ابعادی، پارامترهای مؤثر بر روی ضریب تخلیه سرریزهای جانبی نیم‌دایره‌ای عبارتند از  $Fr_1$ ,  $L/B$ ,  $w/y_1$ ,  $w/l'$ . نتایج نشان می‌دهد که ضریب  $C_m$  سرریزهای نیم‌دایره‌ای رابطه‌ای مستقیم با دو پارامتر  $\frac{L}{B}$  و  $\frac{w}{y_1}$  و رابطه‌ای عکس با دو پارامتر  $Fr_1$  و  $\frac{w}{l'}$  دارد. با توجه به نتایج آزمایش‌ها بهترین حالت برای طراحی هنگامی است که  $2 \leq \frac{L}{B} \leq 1.5$  باشد. افزایش بیش از اندازه‌ی طول سرریز موجب افزایش

## مراجع

1. De Marchi, G., "Saggio di teoria di fuzionamento degli stramazzi laterali. L'Elettrica, Milano, Italy", 11(11), pp. 849-860, (1934).
2. Hager, W. H. "Lateral outflow over side weirs", *J Irrig Drain Eng ASCE*, 113(4), pp. 491–504, (1987).
3. Subramanya, K., & Awasthy, S. C., "Spatially varied flow over side weirs", *J Hydraul Div ASCE*, 98(HY1), pp.1–10, (1972).
4. Yu-Tech, L., "Discussion of spatially varied flow over side weir", *J Hydraul Eng ASCE*, 98(11), pp. 2046–2048, (1972).
5. El-Khashab. A., and Smith. K. V. H., "Experimental investigation of flow over side weirs", *J. Hydr. Engng.*, ASCE, 102(9), pp. 1255-1268, (1976).
6. Ranga Raju, K. G., Prasad, B., & Gupta, S. K., "Side weir in rectangular channels", *J Hydraul Div ASCE Proc*, 105(HY5), pp. 547–554, (1979).
7. Swamee. P. K., and Pathak. S. K., and Ali. S. M., "Side weir analysis using elementary discharge coefficient", *J. Irrig. and Drain. Engng.*, ASCE, 120(4), pp. 742-755, (1994).
8. Singh, R., Manivannan, D., & Satyanarayana, T., "Discharge coefficient of rectangular side weirs", *J. Irrig Drain Eng ASCE Proc*, 120(4), pp. 814–819, (1994).
9. Borghei, S.M., Jalili, M. R., & Ghodsian, M., "Discharge coefficient for sharp-crested side weir in subcritical flow", *J. Hydraul Eng.* 125(10), pp.1051–1056, (1999).
10. Emiroglu, M. E., Agaccioglu, H., & Kaya, N., "Discharging capacity of rectangular side weirs in straight open channels", Flow Measurement and Instrumentation, pp. 319–330, (2011).
11. Ura, M., Kita, Y., Akiyama, J., Moriyama, H., & Kumar Jha, A., "Discharge coefficient of oblique side weirs", *J. Hydroscience and Hydraulic Engng.*, JSCE, 19(1), pp. 85-96, (2001).
12. نکوئی، م.، "بررسی و تعیین ضریب دبی سرریز جانبی منقاره‌ای به صورت آزمایشگاهی"، پایان‌نامه‌ی کارشناسی ارشد دانشگاه

صنعتی شریف، (۱۳۸۵).

13. Borghei. S. M., Parvane. A., "Discharge characteristics of modified oblique side weir in subcritical flow", *Flow Measurement and Instrumentation*, 22 (2011), pp. 370–376, (2011).
14. Emiroglu, M. E., Kaya, N., & Agaccioglu, H., "Discharge capacity of labyrinth side weir located on a straight channel", *J Irrig Drain Eng ASCE*, 136 (1), pp. 37– 46, (2010).
15. Kaya, N., Emiroglu, M.E., & Agaccioglu, H., "Discharge coefficient of a semi-elliptical side weir in subcritisal flow", *Flow Measurment and Instrumentation*. 22 (1), pp.25-32, (2011).
16. Emiroglu, M. E., Kaya, N., "Discharge Coefficient for Trapezoidal Labyrinth Side Weir in Subcritical Flow", *Water Resour Manage* , 25, pp. 1037–1058, (2011).